

E.B. Набокова

ОПЫТ ПРИМЕНЕНИЯ МОДЕЛИ WRF С УЧЕТОМ ДВУХ МЕТОДОВ ПАРАМЕТРИЗАЦИИ ГОРОДСКОГО ПОДСЛОЯ ДЛЯ ПРОГНОЗА ТЕМПЕРАТУРЫ ВОЗДУХА И СКОРОСТИ ВЕТРА

В последние десятилетия исследование особого метеорологического режима, сложившегося на урбанизированных территориях, приобрело большую актуальность и значимость и вошло в число задач таких крупных международных проектов, как MEGAPOLI (Megacities: Emissions, urban, regional and Global Atmospheric POLLution and climate effects, and Integrated tools for assessment and mitigation) [11], GURME (the GAW Urban Research Meteorology and Environment programme) [13], CLEAR (Cluster of European Air Quality Research) [12]. Одним из методов исследования данного явления является численное моделирование.

Существует два принципиально различающихся подхода к моделированию метеорологического режима города. Первый подход – прямое математическое моделирование с помощью решения уравнений газовой динамики и притока тепла в городской застройке. Этот метод требует очень высокого пространственного разрешения в моделях. Второй подход заключается в параметризации процессов в городе, представленном в виде «каменного леса» с трехмерной геометрией. Эти методы могут быть включены в мезомасштабные модели для представления в них городских процессов [2]. В последнее десятилетие был достигнут значительный прогресс в развитии методов второго типа. Два из них были включены в мезомасштабную негидростатическую модель WRF (Weather Research and Forecasting Model) [9].

1. Представление городских метеорологических процессов в модели WRF

В модели WRF особенности физических процессов на территориях с разными типами подстилающей поверхности учитываются в методах параметризации процессов на поверхности и в почве. Одним из таких методов является модель NOAH LSM (National Centers for Environmental Prediction, Oregon State University, Air Force, Hydrology Lab-NWS Land Surface Model) [3]. В модели NOAH описаны следующие процессы: перенос тепла и влаги в четырех слоях почвы и между ними; накопление, сублимация и таяние снега; теплообмен на границах снежного покрова с почвой и атмосферой; транспирация влаги растительным покровом; испарение влаги с поверхности почвы, водоемов и растительного покрова; поверхностный сток. В расчеты для перечисленных процессов входят значения таких физических характеристик, как альbedo, параметр шероховатости, относительная излучательная способность и другие, которые задаются своими для каждого типа поверхности. В табл. 1 приведены значения этих характеристик для ячеек с типом поверхности «город». Стоит отметить, что данные физические характеристики заданы без учета географии, то есть являются едиными для всех городов мира.

*Таблица 1
Значения физических характеристик подстилающей поверхности для ячеек с типом подстилающей поверхности «город»*

Название параметра	Значение
Параметр шероховатости	0,8 м
Альbedo подстилающей поверхности	0,15 %
Относительная излучательная способность поверхности	0,88 %
Доля растительности	0,10 %

Однако задание параметров подстилающей поверхности не отражает всех процессов в городской застройке. Для их описания в модель WRF были введены два метода параметризации – однослойная модель городского приземного подслоя (Urban Canopy Model, в дальнейшем – UCM) [6] и многослойная модель городского приземного подслоя (Building Environment Parameterization, в дальнейшем – BEP) [8]. Эти методы параметризации учитывают такие характерные для города

процессы, как затенение поверхности земли зданиями, отражение и поглощение радиации в уличных каньонах, потоки тепла от дорог, крыш и стен зданий.

Основная идея метода параметризации UCM – учет особенностей города в расчетах теплового баланса у поверхности земли и сдвига ветра в приземном подслое. При этом рассматриваются турбулентные потоки явного тепла от поверхностей крыш, стен и дорог, которые включаются в уравнения обмена энергией и моментом количества движения между городским подслоем и атмосферой. На рис. 1 представлены турбулентные потоки явного тепла в городском подслое.

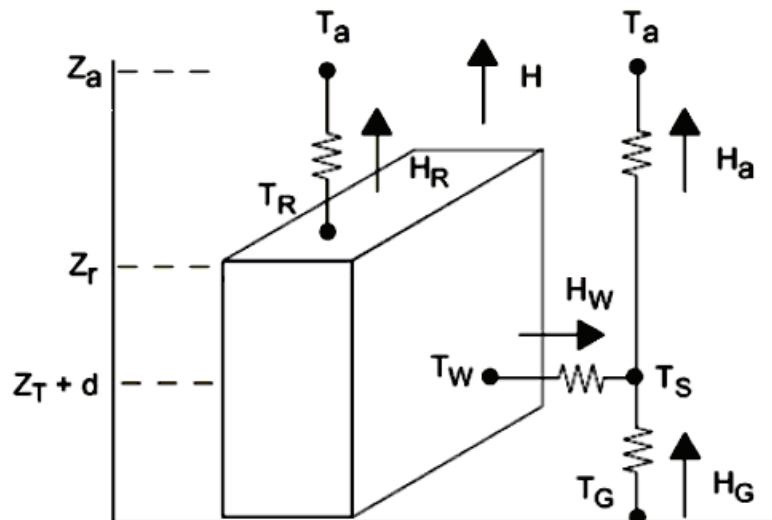


Рис. 1. Схема турбулентных потоков явного тепла, учитывающихя в однослоиной модели UCM (из [6]): H_R , H_W , H_G – потоки явного тепла от поверхностей крыш, стен и дорог соответственно; H_a – полный поток явного тепла от городского каньона; H – полный поток явного тепла от городского подслоя; T_a – температура воздуха на нижнем модельном уровне Z_a ; T_R – температура поверхности крыш на уровне Z_r , соответствующем высоте зданий; T_s – температура на уровне $Z_r + d$ (сумма параметра шероховатости для расчета турбулентного потока тепла и высоты слоя вытеснения); T_w , T_G – температуры поверхностей стен и дорог соответственно

Согласно [7], поток явного тепла от поверхности крыш оценивается в соответствии с теорией подобия Монина–Обухова, а потоки явного тепла от стен и дорог – по эмпирической формуле Юргеса (здесь и далее обозначения в формулах аналогичны обозначениям на рис. 1).

$$H_w = C_w (T_w - T_s),$$

$$H_G = C_G (T_G - T_s),$$

$$C_w = C_G = \begin{cases} 7,51 U_s^{0,78} & (U_s \geq 5 \text{ ms}^{-1}) \\ 6,15 + 4,18 U_s & (U_s < 5 \text{ ms}^{-1}) \end{cases},$$

где C_w и C_G – коэффициенты конвективной теплопередачи для стен и дорог соответственно; U_s – скорость ветра на высоте, соответствующей сумме параметра шероховатости для расчета переноса момента и высоты слоя вытеснения.

Полный поток явного тепла от городского каньона (H_a) в узле сетки, равный сумме потоков от стен и дорог, оценивается следующим образом:

$$rw \cdot H_a = 2h_c \cdot H_w + rw \cdot H_G,$$

где rw – нормированная ширина уличных каньонов (отношение ширины уличных каньонов к сумме ширины уличных каньонов и ширины крыш); h_c – нормированная высота зданий (отношение высоты зданий к сумме ширины уличных каньонов и ширины крыш).

Полный поток тепла от городского подслоя от единичной ячейки находится согласно выражению

$$H_A = r \cdot H_R + rw \cdot H_a,$$

где r – нормированная ширина крыш (отношение ширины крыш к сумме ширины уличных каньонов и ширины крыш).

Взаимодействие UCM с моделью NOAH LSM происходит через процент «городского покрытия» ячейки, за счет чего создается возможность учета как территорий, занятых исключительно зданиями и искусственными поверхностями, так и участков города с естественным покрытием (парки, скверы и др.), меньших по размеру, чем ячейка

сетки. Согласно этому подходу поток явного тепла, например, рассчитывается следующим образом:

$$H = A_{\text{ест}} H_{\text{LSM}} + A_{\text{иск}} H_A,$$

где H – полный поток явного тепла от узла сетки к нижнему вертикальному уровню; $A_{\text{ест}}$ – процент территории ячейки, занятый естественными покрытиями (луг, сельскохозяйственные посевы, лес, вода); $A_{\text{иск}}$ – процент территории ячейки, занятый искусственными покрытиями (здания, проезжие дороги, железные дороги); H_{LSM} – поток явного тепла от естественных поверхностей, рассчитанный по модели NOAH LSM; H_A – поток явного тепла от городского подслоя, рассчитанный по модели UCM.

Аналогичным образом оцениваются полные потоки скрытого тепла и поток тепла от земной поверхности.

Профиль ветра в городском подслое предполагается экспоненциальным (согласно [10]):

$$U = U_a \frac{\log[(z_r - d)/L]}{\log[(z_a - d)/L]} \exp \left[-n \left(1 - \frac{z}{z_r} \right) \right],$$

где U_a – скорость ветра на уровне 10 м; L – масштаб Монина–Обухова.

Основные идеи модели ВЕР о физических процессах в городских каньонах совпадают с идеями UCM, однако их учет производится за счет добавления в уравнения новых членов, связанных с наличием трения, потоков тепла и генерацией турбулентности в городском подслое. Уравнения для вертикального турбулентного обмена для различных переменных с учетом новых членов выглядят следующим образом:

$$\frac{\partial C}{\partial t} = \frac{1}{\rho} \frac{\partial}{\partial z} \left(\rho K_H \frac{\partial C}{\partial z} \right) + S_C,$$

где C – переменная (компоненты скорости ветра, потенциальная температура и др.); K_H – соответствующий переменной коэффициент турбулентного обмена; S_C – источники и стоки переменной C .

Турбулентные потоки тепла и момента количества движения от городской застройки входят в член S_C .

В ВЕР принимается, что источники и стоки момента количества движения, тепла и кинетической энергии неоднородно распределены

по вертикали, что учитывается за счет задания распределения зданий по высотам в пределах городской застройки.

Разница в подходах к учету влияния городского приземного подслоя на приземный слой атмосферы выражается в разном задании вертикальных уровней в модели. При расчетах с ВЕР нижний модельный уровень может находиться ниже средней высоты зданий, тогда как в UCM должен превышать его.

2. Описание экспериментов

С моделью WRF была проведена серия экспериментов для региона г. Москвы в виде прогнозов на 48 ч в период с 1 по 29 августа 2007 года от 00 ч ВСВ. На рис. 2 представлены границы области моделирования.

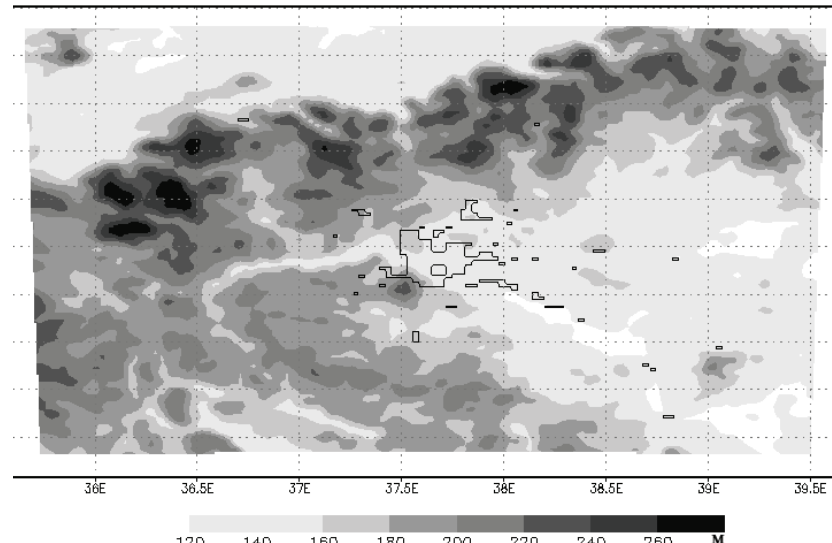


Рис. 2. Границы области моделирования (оттенками серого изображен рельеф, черный контур соответствует границам Москвы в базе типов землепользования, используемой моделью WRF)

В проведенных экспериментах в качестве начальных и граничных условий были использованы анализы NCEP/NCAR с разрешением $0,5^\circ$,

включающие в себя трехмерные поля температуры, скорости ветра, относительной влажности на стандартных изобарических поверхностях, влажности и температуры почвы на четырех уровнях, а также двумерные поля влажности, приземного давления, давления на уровне моря, температуры поверхности и водного эквивалента снежного покрова. Границные условия задавались каждые 6 часов. Размер сетки расчетной области – 120×100 точек, разрешение – 2 км. Область Москвы имеет размер примерно 20×20 точек. По вертикали было задано 42 σ -поверхности, семь из них – в пограничном слое.

Названия экспериментов обозначаются следующим образом: К – контрольный эксперимент с моделью процессов на поверхности и в почве NOAH; UCM – эксперимент с однослоевой моделью городского приземного подслоя; ВЕР – эксперимент с многослойной моделью городского приземного подслоя. В табл. 2 приведены морфометрические параметры застройки, заданные по умолчанию для моделей UCM и ВЕР и использованные для первых оценок прогнозов с учетом параметризаций городского приземного подслоя.

Таблица 2

Морфометрические параметры застройки в методах параметризации UCM и ВЕР

Параметры	UCM	ВЕР
Высота зданий	7,5 м	10 м – 3 % 15 м – 7 % 20 м – 12 % 25 м – 18 % 30 м – 20 % 35 м – 18 % 40 м – 12 % 45 м – 7 % 50 м – 3 %
Ширина зданий	9,4 м	15 м
Ширина дорог	9,4 м	15 м

В качестве оцениваемых величин были выбраны температура и скорость ветра, поскольку влияние города на них проявляется наиболее ярко. Прогнозы этих величин сравнивались с данными наблюдений на станциях Балчуг и ВДНХ, на Останкинской телевизионной башне и данными, полученными с помощью профилемера Гидрометцентра

России. Модельные данные интерполировались в точку с координатами этих станций, а для оценок профилей – дополнительно с σ -уровней модели на z-уровни, на которых проводятся наблюдения. Данные Останкинской башни (температура и скорость ветра) были выбраны на высотах 128, 305 и 503 м, а данные профилемера Гидрометцентра России (температура) – на высотах 100, 300 и 500 м. В качестве параметров оценки использовались абсолютная и систематическая ошибки прогноза.

3. Описание температуры воздуха и скорости ветра в период моделирования

На рис. 3 и 4 приведен ход дневной (12 ч ВСВ) и ночной (00 ч ВСВ) температуры на уровне 2 м в период с 1 по 29 августа на станциях ВДНХ, Балчуг и МГУ. Как видно из рисунков, дневные температуры в рассматриваемый период на трех станциях в основном отличаются не более, чем на $1\text{--}2$ °C, тогда как различие в ночных температурах более значимо и в отдельные дни достигает 6 °C. Вочные часы более высокие температуры характерны для станции Балчуг, находящейся в центре города.

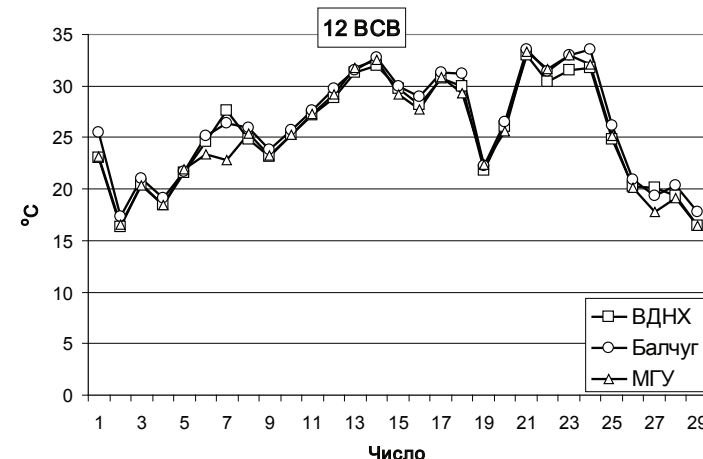


Рис. 3. Ход температуры воздуха на уровне 2 м в 12 ч ВСВ по данным наблюдений на станциях ВДНХ, Балчуг и МГУ

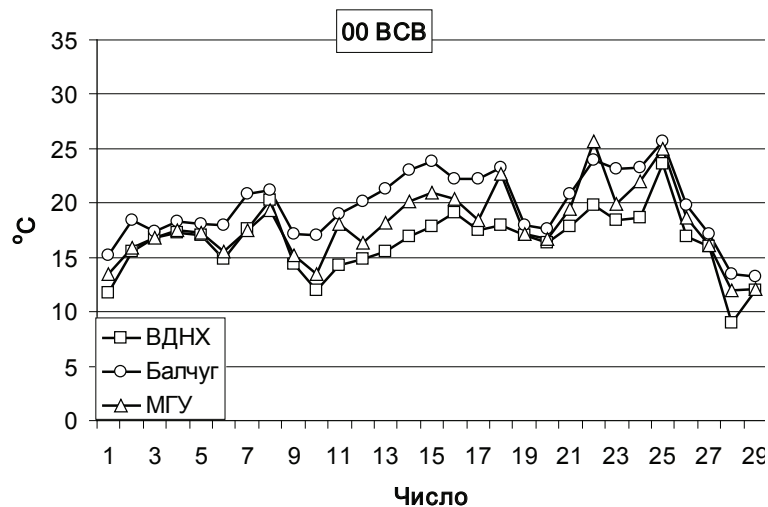


Рис. 4. Ход температуры воздуха на уровне 2 м в 00 ч ВСВ по данным наблюдений на станциях ВДНХ, Балчуг и МГУ

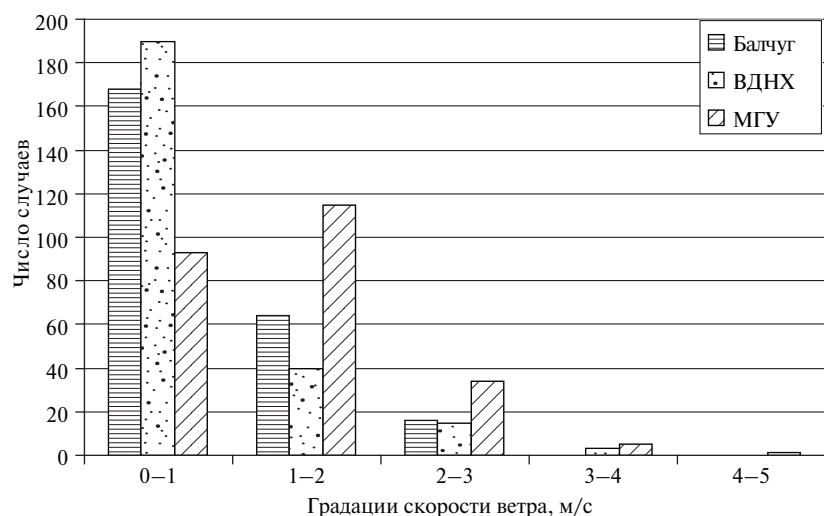


Рис. 5. Повторяемость скоростей ветра в различных градациях на станциях Балчуг, ВДНХ и МГУ

На рис. 5 приведены повторяемости скоростей ветра на уровне 10 м в различных градациях в период с 1 по 29 августа. Согласно данным наблюдений, на станциях Балчуг и ВДНХ, по сравнению с МГУ, более часто отмечались штили и ветер со скоростью 1 м/с. Стоит отметить, что на станции Балчуг не было ветров со скоростью более 3 м/с, а на станции ВДНХ – более 4 м/с.

4. Анализ результатов экспериментов

4.1. Температура воздуха

На рис. 6 приведен ход осредненных по 29 прогнозам значений абсолютной и систематической ошибок прогноза температуры воздуха на уровне 2 м в зависимости от заблаговременности прогноза для станций Балчуг и ВДНХ. В целом ход ошибок в экспериментах с городскими версиями аналогичен ходу ошибок в контрольном эксперименте: максимальные значения абсолютной ошибки приходятся на ночные и утренние часы ($2-4^{\circ}\text{C}$ – для Балчуза и $1-3^{\circ}\text{C}$ – для ВДНХ), а в дневные и вечерние часы она практически одинакова (около 2°C – для Балчуза и около $1,5^{\circ}\text{C}$ – для ВДНХ). Наименьшие средние значения абсолютной ошибки на станции Балчуг в ночные и утренние часы отмечаются в эксперименте с методом параметризации ВЕР, ошибки которого на $1-2^{\circ}\text{C}$ меньше, чем ошибки контрольного эксперимента и эксперимента с методом параметризации UCM. Это свидетельствует о более реалистичном воспроизведении в ВЕР ночного острова тепла. По данным станции ВДНХ, оценки экспериментов с учетом методов параметризации городского подслоя близки к оценкам контрольного эксперимента. Стоит отметить, что по данным станции Балчуг средние значения систематической ошибки во все моменты отрицательны, а по данным станции ВДНХ – принимают значения обоих знаков, что говорит о том, что при заданных морфометрических параметрах (табл. 2) в центре города в рассмотренных прогнозах систематически занижается температура воздуха.

В экспериментах с параметризациями UCM и ВЕР для других городов, описанных в [4, 5], было отмечено увеличение ночных температур за счет дополнительного турбулентного потока явного тепла, выделяемого перегретыми за день зданиями и искусственными поверхностями (дороги, площадки, тротуары и т.д.). Для этих городов

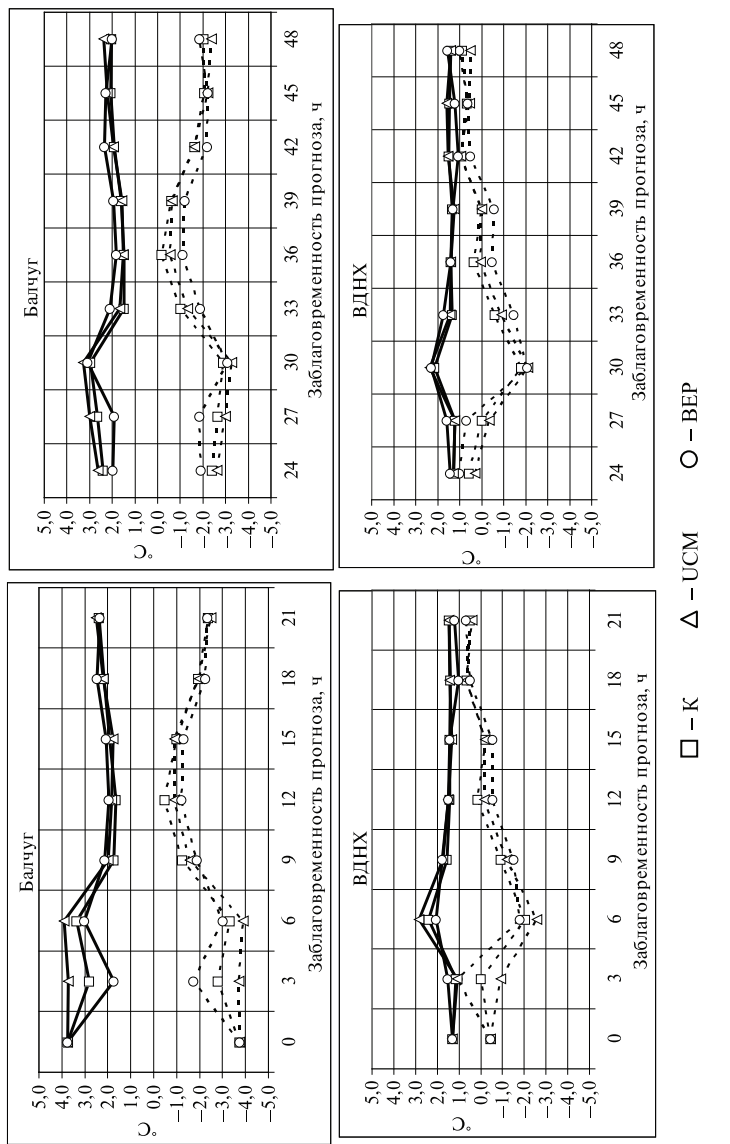


Рис. 6. Систематическая ошибка (пунктирная линия) и средняя абсолютная ошибка (сплошная линия) прогноза температуры воздуха на уровне 2 м на станциях Балчуг и ВДНХ. Слева – первые сутки прогноза, справа – вторые сутки прогноза

были созданы подробные карты типов землепользования, а также описаны морфометрические характеристики, такие, как высота зданий, ширина дорог и крыш и др. Возможно, отсутствие ночного острова тепла в прогнозах для Москвы с учетом городских параметризаций связано с несоответствием заданных в модели по умолчанию морфометрических параметров для города их реальным значениям для центральной части Москвы. В дальнейшем это предположение будет исследовано.

Ход ошибок прогноза температуры на высотах повторяет их ход у земли (рис. 7). На высотах 100–128 м вочные часы меньшее занижение температуры также приходится на эксперимент с параметризацией города ВЕР, однако его отличие от двух других экспериментов значительно меньше.

4.2. Скорость ветра

Ошибки прогноза скорости ветра на 10 м показаны на рис. 8. Лучшие результаты в прогнозе скорости ветра получены в экспериментах с параметризацией ВЕР, где отличие от двух других экспериментов в абсолютной ошибке достигает 2 м/с, а систематическая ошибка колеблется около нуля.

На рис. 9 представлены осредненные за период с 1 по 29 августа вертикальные профили скорости ветра по данным наблюдений на телевизионной башне в Останкино и полученные в модели. Вочные часы во всех экспериментах до высоты 450 м наблюдалось завышение скорости ветра относительно наблюдений, а выше этой отметки – занижение. Ближе всего к наблюдениям оказался эксперимент ВЕР. В том же эксперименте весьма точно воспроизведен профиль скорости ветра в нижнем 300-метровом слое в дневные часы, в двух других экспериментах скорость снова оказалась завышена.

Заключение

В ходе работы была проведена серия экспериментов с моделью WRF с использованием двух методов параметризации городского приземного подслоя, представляющих два принципиально разных подхода к моделированию процессов в пределах урбанизированных территорий. Результаты моделирования сравнивались с данными

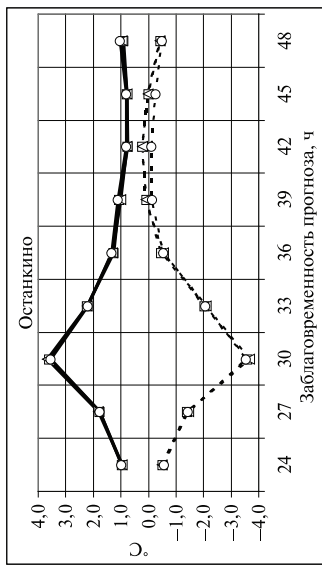
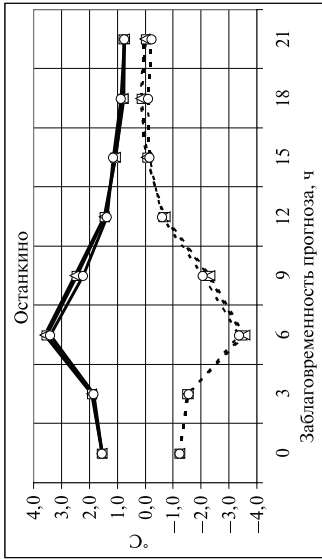


Рис. 7. Систематическая ошибка (пунктирная линия) и средняя абсолютная ошибка (сплошная линия) прогноза температуры воздуха для телевизионной башни в Останкино и профилемера в Гидрометцентре России на высотах 128 и 100 м соответственно. Слева – первые сутки прогноза, справа – вторые сутки прогноза

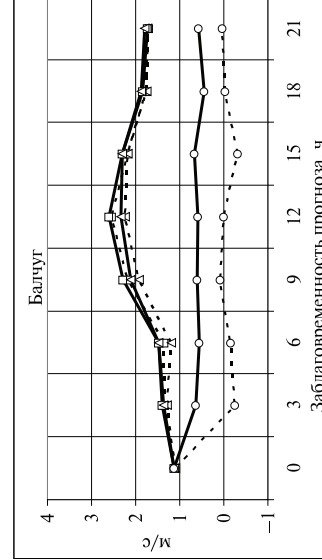
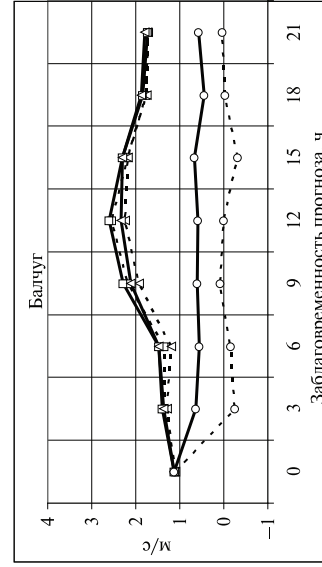


Рис. 8. Систематическая ошибка (пунктирная линия) и средняя абсолютная ошибка (сплошная линия) прогноза скорости ветра на уровне 10 м на станциях Балчуг и ВДНХ. Слева – первые сутки прогноза, справа – вторые сутки прогноза

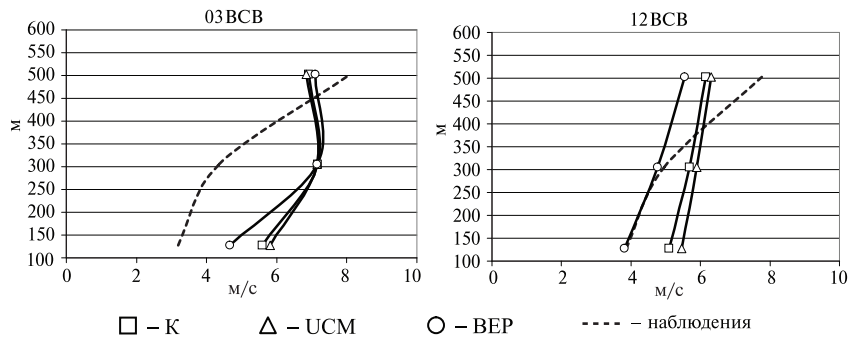


Рис. 9. Средние профили скорости ветра за период с 1 по 29 августа 2007 г. по данным на телевизионной башне в Останкино и полученные в экспериментах.

Слева – ночные часы (прогноз от 00 ч ВСВ на 3 часа),
справа – дневные часы (прогноз от 00 ч ВСВ на 12 часов)

наблюдений, полученных на станциях Балчуг, ВДНХ, на Останкинской телевизионной башне и с помощью профилемера Гидрометцентра России. В среднем в проведенных экспериментах, охватывающих период с 1 по 29 августа 2007 года, при заданных по умолчанию морфологических параметрах застройки (высота и ширина зданий, ширина дорог) отмечается занижение температуры воздуха на уровне 2 м, что особенно ярко проявляется в центре города. При этом многослойная модель дает более близкие к данным наблюдений результаты, по сравнению с однослойной моделью и контрольным экспериментом. Расчеты с той же параметризацией дают заметно лучший прогноз скорости ветра, улучшая его, по сравнению с контрольным на 1–2 м/с.

Работа частично поддержана фондом РФФИ. Гранты 09-05-00652-а и 10-08-00493-а.

Список литературы

1. Chen F. Applications of the Integrated WRF/Urban Modeling System to Regional Air Quality // 2009 CMAS Conference, 20 October 2009, Chapel Hill, NC.
2. Chen F. Developing an Integrated Urban Modeling System for WRF // NCEP EMC Seminar, Camp Springs, 18 October 2005.

3. Chen F. The Noah Land Surface Model in WRF // A short tutorial. LSM group meeting, 17 April 2007.

4. Chen F., Kusaka H., Tewari M. et al. Utilizing the coupled WRF/LSM/Urban modeling system with detailed urban classification to simulate the urban heat island phenomena over the Greater Houston area // Extended abstract of the Fifth Conference on Urban Environment, Vancouver, BC, 23–26 August 2004.

5. Hamdi R., Schayes G. Validation of Martilli's urban boundary layer scheme with measurements from two mid-latitude European cities // Atmospheric Chemistry and Physics. – 2007. – N 7. – P. 4513–4526.

6. Kusaka H., Kimura F. Coupling a single-layer urban canopy model with a simple atmospheric model: Impact on urban heat island simulation for an idealized case // J. of Meteorol. Society of Japan. – 2004. – N 82. – P. 67–80.

7. Kusaka, H., Kimura F. Thermal effects of urban canyon structure on the nocturnal heat island: Numerical experiment using a mesoscale model coupled with an urban canopy model // J. Appl. Meteor. – 2004. – N 43. – P. 1899–1910.

8. Martilli A., Clappier A., and Rotach M.W. An urban surface exchange parameterization for mesoscale models // Boundary-Layer Meteorology. – 2002. – N 104. – P. 261–304.

9. Skamarock W.C., Klemp J.B., Dudhia J., Gill D.O., Barker D.M., Wang W., and Powers J.G. A Description of the Advanced Research WRF Version 2. NCAR Tech Note, NCAR/TN-468+STR., 2007. – 88 p.

10. Swaid H. The role of radiative-convective interaction in creating the microclimate of urban street canyons // Boundary-Layer Meteorology. – 1993. – N 64. – P. 231–259.

11. <http://megapoli.dmi.dk/>.

12. <http://tarantula.nilu.no/clear/index.htm>.

13. <http://www.wmo.int/pages/prog/arep/gaw/urban.html>.